

# TIPE : Introduction à la théorie des ondelettes

Xavier Friederich et Gaétan Bahl

12 juin 2014

## Table des matières

<b>1</b>	<b>Introduction et problématisation</b>	<b>2</b>
1.1	Limites de l'analyse de Fourier . . . . .	2
1.2	Possibilité de perfectionnement ? . . . . .	2
<b>2</b>	<b>La théorie des ondelettes - Définition et conditions d'existence</b>	<b>2</b>
<b>3</b>	<b>Transformation en ondelettes</b>	<b>3</b>
3.1	Transformation en ondelettes continue . . . . .	3
3.2	Transformation en ondelettes discrète. . . . .	5
3.3	Comparaison avec la transformation de Fourier . . . . .	5
<b>4</b>	<b>Algorithme de décomposition en ondelettes de Stéphane Mallat (1989)</b>	<b>5</b>
<b>5</b>	<b>Application à la compression des données</b>	<b>6</b>
<b>6</b>	<b>Utilisation pratique de la transformation par ondelettes discrète</b>	<b>6</b>
6.1	Le choix des outils . . . . .	6
6.1.1	Le langage : Python . . . . .	6
6.1.2	La librairie de traitement d'image : PIL . . . . .	6
6.1.3	La librairie d'interface graphique : Tkinter . . . . .	6
6.2	L'algorithme matriciel . . . . .	6
6.3	L'application graphique . . . . .	7
<b>7</b>	<b>Conclusion</b>	<b>8</b>
<b>8</b>	<b>Annexes</b>	<b>9</b>
8.1	Sur la transformation de Fourier . . . . .	9
8.1.1	L'utilisation de la transformée de Fourier . . . . .	9
8.1.2	Définition de la transformation de Fourier . . . . .	9
8.1.3	Propriétés de la transformation de Fourier . . . . .	9
8.1.4	Transformée inverse . . . . .	9
8.1.5	Exemples de transformées de Fourier . . . . .	10
8.1.6	Applications. . . . .	10
8.2	Transformation par les ondelettes. . . . .	12
8.2.1	Exemples d'ondelettes mères : . . . . .	12
8.2.2	Comparaisons de méthodes de compression . . . . .	13
8.2.3	L'algorithme de Mallat : démonstration dans le cas des ondelettes de Haar. . . . .	13
8.2.4	Schématisation de l'algorithme de Mallat . . . . .	16
8.2.5	Représentation matricielle de l'algorithme utilisant les ondelettes de Haar . . . . .	16
8.2.6	Exemples d'images traitées avec notre algorithme . . . . .	18
8.3	Code de l'algorithme en Python et application graphique . . . . .	20
8.3.1	Fichier ondelettes.py . . . . .	20
8.3.2	Fichier ondelettesGUI.py . . . . .	26
<b>9</b>	<b>Bibliographie, Liens et Remerciements</b>	<b>30</b>

# 1 Introduction et problématisation

Le traitement du signal prend de plus en plus d'ampleur dans la vie de tous les jours. Il permet notamment de réduire la mémoire occupée par un signal (sonore, graphique...) enregistré sur un ordinateur par exemple. Les séries de Fourier (pour les signaux périodiques) et la transformée de Fourier (pour un signal quelconque) ont longtemps été les outils essentiels de l'analyse harmonique. L'analyse de Fourier constitue un outil efficace mais qui présente incontestablement des limites.

## 1.1 Limites de l'analyse de Fourier

On rappelle que si  $f$  est une fonction continue  $2\pi$ -périodique de classe  $\mathcal{C}^1$  par morceaux,  $f$  est somme de sa série de Fourier, ce qui se réécrit de la façon suivante :

$$\forall t \in \mathbb{R}, f(t) = \frac{a_0}{2} + \sum_{n=1}^{+\infty} (a_n(f) \cos(nt) + b_n(f) \sin(nt))$$

On peut ainsi très facilement décomposer un signal périodique en une somme infinie de sinusoides.

Bien évidemment, la plupart des signaux sont non-périodiques. Dans le cas général et dans la limite de la possibilité de le faire, on effectue une transformation de Fourier.

La transformation de Fourier d'une fonction  $f$  produit comme transformée une fonction  $\hat{f}$  à valeurs complexes. On comprendra que la très grande majorité des signaux est numérique et que les définitions mathématiques avec les intégrales (domaine du continu) ne sont pas adaptées au domaine du discret.

La transformée de Fourier telle qu'elle est utilisée dans un ordinateur (transformée de Fourier discrète (TFD)) présente des limites considérables.

On ne peut pas analyser un morceau de musique avec une TFD simple. En effet, on perdrait l'information temporelle. Prenons par exemple deux signaux semblables :

1. un signal composé d'une sinusoïde à 100Hz pendant une seconde puis d'une sinusoïde à 200Hz pendant une seconde
2. un second composé d'une sinusoïde à 200Hz pendant une seconde puis d'une sinusoïde à 100Hz pendant la seconde suivante.

Leurs transformées de Fourier respectives sont identiques (commutativité de l'addition).

Par conséquent, la TFD n'est applicable que sur des signaux dont l'on sait que l'information fréquentielle est la même partout.

En outre, l'algorithme FFT (qui a pour but un calcul rapide de la TFD et de son inverse) nécessite que le nombre d'échantillons  $N$  soit une puissance de 2 à cause de l'architecture récursive du programme. De plus, les algorithmes type FFT que l'on programme ne sont pas toujours efficaces au niveau de la mémoire et de la rapidité car on doit tenir compte des matrices et des nombres complexes que le logiciel de programmation ne connaît *a priori* pas.

## 1.2 Possibilité de perfectionnement ?

Certes, il s'agit de réduire l'espace occupé par les fichiers mais il faut aussi conserver une bonne qualité du signal. Or, la recherche récente a montré que la transformation par les ondelettes permet de trouver le juste équilibre. La transformation par les ondelettes est une transformation des fonctions/signaux plus performante car elle est notamment capable de détecter les portions du signal qui varient plus rapidement que d'autres.

En quoi consiste la transformation par les ondelettes ? Dans quelle mesure la compression par les ondelettes est-elle plus efficace que l'utilisation de la transformation de Fourier ?

A l'aide de la démonstration de l'algorithme de Mallat et de notre propre implémentation de l'algorithme avec visualisation graphique, on tentera de répondre à ces questions.

# 2 La théorie des ondelettes - Définition et conditions d'existence

La transformation en ondelettes est apparue pour la première fois dans le domaine de la géophysique vers 1980 pour l'analyse des données sismiques. Elle aura été formalisée par Morlet, Grassmann et Goupillard. De manière analogue à la théorie des séries de Fourier, les ondelettes sont principalement utilisées pour la décomposition de

fonctions. La décomposition d'une fonction en ondelettes consiste à l'écrire comme une somme pondérée de fonctions obtenues à partir d'opérations simples effectuées sur une fonction principale appelée ondelette-mère. Ces opérations consistent en des translations et dilatations de la variable. Selon que ces translations et dilatations sont choisies de manière continue ou discrète, on parlera d'une transformée en ondelettes continue ou discrète. Le travail suivant fera l'objet du cas particulier de la transformation en ondelettes unidimensionnelle.

Une ondelette est d'un point de vue géométrique et schématique une forme d'onde, l'idéalisation d'une note de musique, d'une durée limitée et qui a une valeur moyenne égale à 0.

Plus formellement, pour le cas d'une **ondelette-mère** (celle que l'on va pouvoir dilater et traduire afin d'obtenir les autres ondelettes définissant ainsi une famille d'ondelettes), il s'agit d'une fonction  $\psi$  de  $\mathcal{L}^1(\mathbb{R}, \mathbb{C}) \cap \mathcal{L}^2(\mathbb{R}, \mathbb{C})$  qui vérifie la condition suivante :

$$\int_{\mathbb{R}} \frac{|\hat{\psi}(\omega)|^2}{|\omega|} d\omega < \infty \text{ où } \hat{\psi} \text{ est la transformée de Fourier de } \psi, \text{ donnée par la formule } \hat{\psi}(\omega) = \int_{-\infty}^{+\infty} \psi(t) \cdot e^{-2i\pi\omega t} dt.$$

Cette condition, dite condition d'admissibilité est nécessaire pour que la transformée en ondelettes d'une fonction existe !

$$\psi \text{ vérifie alors : } \int_{\mathbb{R}} \psi(t) \cdot dt = 0.$$

*Démonstration :*

Il faut que  $\omega \mapsto \frac{|\hat{\psi}(\omega)|^2}{|\omega|}$  ait un prolongement continu en 0, donc il faut que  $\hat{\psi}(0) = \int_{\mathbb{R}} \psi(t) \cdot dt = 0$ .

En  $+\infty$  ou  $-\infty$ , il n'y a pas de problème de convergence de l'intégrale définissant la condition d'admissibilité car par théorème,  $\hat{\psi}$  est une fonction de carré intégrable sur  $\mathbb{R}$  puisque  $\psi$  l'est.

*Remarque :*

Si  $\hat{\psi}$  est continûment différentiable, alors on a l'équivalence :  $\int_{\mathbb{R}} \frac{|\hat{\psi}(\omega)|^2}{|\omega|} d\omega < \infty \iff \hat{\psi}(0) = 0$ .

(Il suffit d'écrire la formule de Taylor en 0 à l'ordre 1.)

Si l'ondelette -fonction analysante- est convenablement choisie, la transformation en ondelettes est inversible et la fonction peut être reconstruite après *analyse* lors d'une étape appelée *synthèse*.

De manière plus « imagée », l'ondelette doit osciller localement autour de l'axe des abscisses. Il existe une infinité de fonctions d'ondelettes car toute fonction oscillante localisée est une ondelette-mère possible. Différentes familles d'ondelettes peuvent être utilisées en fonction du problème à résoudre. C'est un des nombreux avantages de la transformée en ondelettes par rapport à la transformée de Fourier (qui est liée exclusivement aux fonctions sinus et cosinus) que de pouvoir choisir l'ondelette à utiliser pour l'analyse.

### 3 Transformation en ondelettes

La transformée en ondelettes est une transformée linéaire qui décompose un signal en fréquences en conservant une certaine localisation spatiale. Concrètement, le signal de départ est projeté sur un ensemble de fonctions de base qui varient en fréquence et en espace.

#### 3.1 Transformation en ondelettes continue

La transformée en ondelettes continue utilise des dilatations et des translations de la fonction ondelette mère  $\psi$ .

La transformée en ondelettes continue de la fonction  $f$  est définie à facteur constant près comme le produit scalaire (produit scalaire complexe usuel sur l'espace de fonctions, noté par la suite  $\langle \cdot | \cdot \rangle$ ) de  $f$  et de  $\psi$ .

$$\mathcal{W}_f(a, b) = \frac{1}{\sqrt{a}} \int_{-\infty}^{+\infty} f(t) \cdot \bar{\psi}\left(\frac{t-b}{a}\right) \cdot dt \text{ avec } a \in \mathbb{R}_+^*, b \in \mathbb{R}$$

Les  $\mathcal{W}_f(a, b)$  sont les *coefficients d'ondelettes*. Notons que  $a$  permet de donner l'*échelle* (c'est le coefficient de dilatation, de fréquence) et  $b$  détermine la position de l'ondelette sur l'axe des temps.

$\frac{1}{\sqrt{a}}$  est le *facteur de normalisation* de l'énergie nécessaire pour que le signal transformé ait la même énergie à toutes les échelles.

*Ex : dilatation.* L'ondelette verte a été dilatée à partir de l'ondelette rouge (ondelette-mère). On a  $b = 0$  et  $a \neq 1$ .

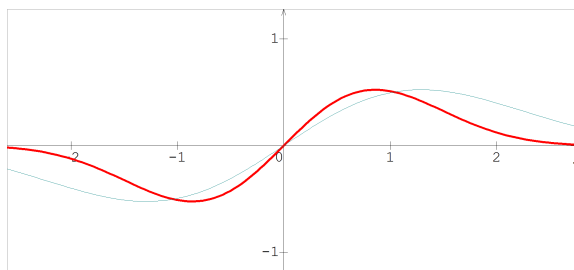


FIGURE 1 – Dilatation d'ondelette

*Ex : translation.* L'ondelette verte a été traduite à partir de l'ondelette rouge (ondelette-mère). On a  $b \neq 0$  et  $a = 1$ .

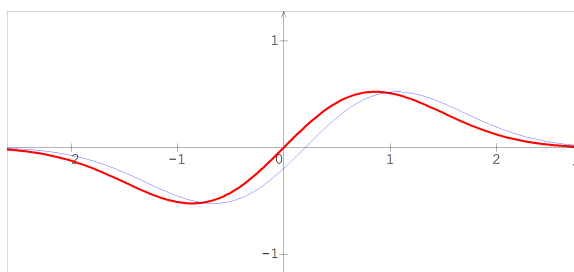


FIGURE 2 – Translation d'ondelette

Le graphique suivant (Fig.3), représentant l'application  $\mathcal{W}$  appliquée en la fonction (ou signal en 1D)  $f = \Pi$  (définie en annexe au paragraphe 8.1.5) et utilisant l'ondelette mère de Morlet (définie en 8.2.1), illustre la richesse de la transformation en ondelettes continue.

A partir d'une ondelette mère, on peut créer une pluralité d'ondelettes "filles" qui vont fournir, par rapport à la transformation classique de Fourier, une plus grande précision dans le traitement des signaux de fréquences constamment changeantes.

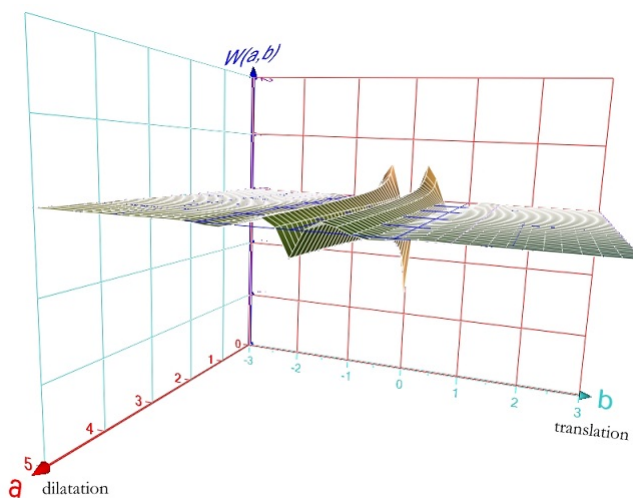


FIGURE 3 – Le graphe de la fonction  $(a, b) \mapsto \mathcal{W}_{\Pi}(a, b)$

### 3.2 Transformation en ondelettes discrète.

La transformation en ondelettes discrète qui a été introduite par Morlet se construit à partir de « bases » de fonctions du type :

$$f_{t_0, \Delta t}(t) = \frac{1}{\sqrt{\Delta t}} f\left(\frac{t - t_0}{\Delta t}\right) \text{ avec } \Delta t > 0, t_0 \in \mathbb{R}$$

$\Delta t$  peut être choisi « géométriquement » ; les paramètres de translation  $t_0$  et  $\Delta t$  sont proportionnels (c'est-à-dire  $\exists k \in \mathbb{R}, t_0 = k \cdot \Delta t$ ).

Une gamme d'échelles  $\Delta t$  utilisée couramment est la gamme d'échelles dyadiques  $\frac{1}{2^p}$ .

On a alors avec  $t_0 = k \cdot \Delta t$  :

$$f_{t_0, \Delta t}(t) = 2^{\frac{p}{2}} f(2^p \cdot x - k), \text{ c'est-à-dire on peut considérer la famille d'ondelettes } \psi_{k,p} = 2^{\frac{p}{2}} \psi(2^p x - k), (k, p) \in \mathbb{Z}^2$$

Il est intéressant de considérer des familles orthogonales d'ondelettes formant une base hilbertienne de  $\mathcal{L}^2(\mathbb{R})$  car alors toute fonction  $f$  de cet espace peut s'écrire

$$f = \sum_{(k,p) \in \mathbb{Z}^2} f_{k,p} \psi_{k,p} \text{ où les } f_{k,p} = \langle f | \psi_{k,p} \rangle \text{ sont appelés coefficients d'ondelettes.}$$

La transformation en ondelettes discrète est presque naturellement associée à des algorithmes plus efficaces et plus rapides que des algorithmes du type FFT qui utilisent la transformée de Fourier.

Une famille d'ondelettes par exemple couramment utilisée dans la transformation en ondelettes discrète est la famille infinie des ondelettes orthogonales de Daubechies : c'est une des familles d'ondelettes les plus performantes.

### 3.3 Comparaison avec la transformation de Fourier

Un des avantages de la transformation par les ondelettes (en comparaison avec la transformation de Fourier), c'est que le fait de modifier ou de supprimer un des coefficients de la transformée d'un signal ne va en rien dégrader le signal.

En outre, les algorithmes de transformation en ondelettes 2D s'appliquent à la totalité de l'image et non pas à des blocs de pixels comme par exemple les algorithmes type FFT, ce qui permet d'éviter les carrés uniformes lorsque le taux de compression est relativement élevé.

Enfin, l'utilisation d'une ondelette réversible permet une compression sans perte de données, ce que l'on observe en 8.2.2 où l'on compare les deux transformations).

Enfin, le coût ou la complexité d'un algorithme utilisant les ondelettes, c'est-à-dire le nombre d'opérations à effectuer, est en  $O(N)$ , ce qui est mieux que le coût des meilleurs algorithmes type FFT en  $O(N \log N)$ .

## 4 Algorithme de décomposition en ondelettes de Stéphane Mallat (1989)

C'est un algorithme linéaire qui fait appel à un sous-échantillonnage. Concrètement, on procède à une décomposition par projections successives (c'est-à-dire de manière récursive) sur deux sous-espaces orthogonaux, l'un donnant l'allure générale de l'image (il s'agira de l'image en résolution moitié) et l'autre les détails. L'algorithme de Mallat a cependant le défaut de ne pas être invariant par translation.

Nous avons fait une démonstration mathématique de cet algorithme présente en annexe ; pour simplifier, nous nous sommes limités au cas particulier de décomposition d'un signal par les ondelettes de Haar.

L'intérêt principal de cet algorithme est qu'il permet de passer d'un échantillon de taille  $2^p$  à un nouvel échantillon principal de taille  $2^{p-1}$  et un échantillon de taille  $2^{p-1}$  en n'utilisant que des sommes ou des différences.

La démonstration au paragraphe 8.2.3 est faite pour la première partie de l'algorithme, l'*analyse*.

Il s'ensuit une deuxième partie (la *synthèse*), qui correspond à l'opération inverse de l'analyse. Dans cette partie, les coefficients d'ondelettes « omis » dans l'analyse entraînent des erreurs.

## 5 Application à la compression des données

La transformation en ondelettes se révèle très efficace pour transformer la plupart des signaux que l'on peut rencontrer, notamment les images et il est facile d'en comprendre la raison.

En effet, la majeure partie des informations à laquelle nous sommes sensibles se trouve dans les contours de l'image où l'intensité varie brutalement, et les coefficients d'ondelettes correspondants sont significatifs, y compris aux petites échelles.

Or, une image contient généralement relativement peu de contours, et est régulière (lentement variable) sauf au voisinage des contours. Par conséquent, beaucoup de coefficients d'ondelettes sont faibles (surtout aux petites échelles); les détails étant presque nuls, ils peuvent être négligés sans que cela entraîne de distorsion visible sur l'image.

Il suffit alors de s'imposer une précision  $\varepsilon$ . On ne va garder ainsi que les coefficients d'ondelettes supérieurs à  $\varepsilon$ . On dit alors qu'on effectue une compression du signal.

Il y a notamment des applications de la compression par ondelettes dans le domaine de l'imagerie médicale. Le cinéma numérique a quant à lui adopté le format JPEG 2000 qui utilise également la transformée en ondelettes.

## 6 Utilisation pratique de la transformation par ondelettes discrète

Nous avons choisi de mettre en pratique ce que nous avons vu plus haut de manière théorique. Notre but a été de mettre en place un algorithme de compression d'image utilisant la compression par ondelettes, ainsi que des applications graphiques qui utilisent cet algorithme.

Le code complet de notre algorithme est disponible en annexe à la fin de ce dossier. Il se compose de deux parties (deux fichiers), l'une constituant la décomposition en tant que telle et l'autre permettant, via une application graphique, d'illustrer la décomposition sur une image 2D que l'utilisateur peut choisir.

### 6.1 Le choix des outils

Pour nos programmes, nous avons utilisé le langage Python et certaines bibliothèques.

#### 6.1.1 Le langage : Python

Nous avons choisi d'utiliser le langage Python pour plusieurs raisons. Celui-ci offre beaucoup de possibilités, est facile à utiliser et permet de créer de gros projets assez rapidement. C'est aussi un langage approprié pour un débutant en programmation. C'est un très bon langage de prototypage, ce qui permet de donner un aperçu assez fonctionnel d'une application pour ensuite pouvoir la réaliser dans un autre langage (plus rapide, par exemple). C'est un langage de script, ce qui permet une grande flexibilité du code, et enlève l'étape de la compilation.

#### 6.1.2 La bibliothèque de traitement d'image : PIL

Pour que notre application puisse supporter plusieurs types de fichiers, nous avons eu recours à une bibliothèque graphique. Nous l'avons utilisée simplement afin de récupérer un tableau contenant les pixels d'une image, ce qui aurait été redondant à programmer nous-même.

PIL nous donne aussi accès à l'écriture de fichiers image dans tous les formats, ce qui offre de la flexibilité à notre programme.

#### 6.1.3 La bibliothèque d'interface graphique : Tkinter

Pour la partie «interface graphique utilisateur» (ou GUI), nous avons utilisé la bibliothèque Tkinter, simple d'utilisation et convenant parfaitement à notre projet : concevoir une application simple d'utilisation et montrant la compression d'une image en utilisant notre algorithme.

## 6.2 L'algorithme matriciel

Nous avons mis au point un algorithme de compression utilisant des matrices. Celui-ci applique deux fois la transformation par ondelettes de Haar (une fois pour la hauteur, une fois pour la largeur), et stocke les coefficients d'ondelettes dans des matrices séparées de l'image. On peut ensuite supprimer certains de ces coefficients au-delà d'un certain seuil, pour compresser l'image.

La figure 4 est un schéma-bloc montrant l'algorithme. La partie «Transformation DWT» est explicitée par la figure 5

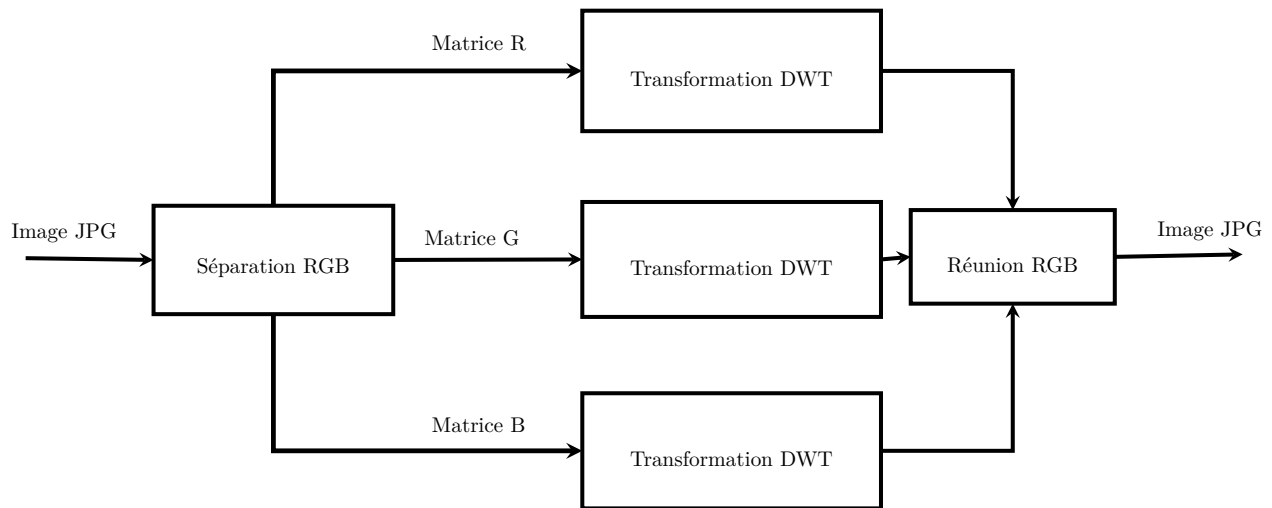


FIGURE 4 – L'algorithme matriciel

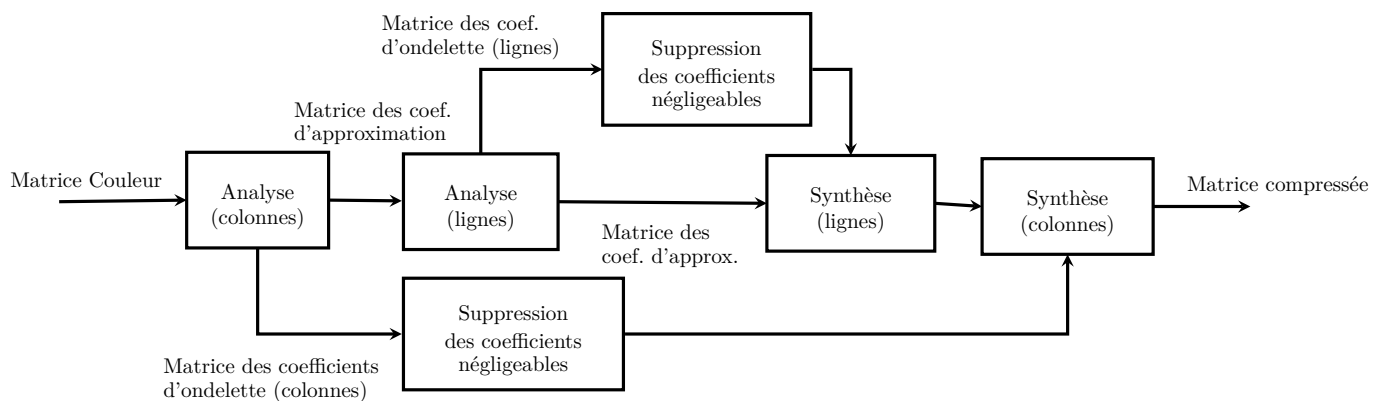


FIGURE 5 – La transformation appliquée aux matrices

### 6.3 L'application graphique

L'application graphique que nous avons créée permet plusieurs choses :

- Ouverture d'une image
- Enregistrement d'une image
- Affichage d'une image dans une fenêtre
- Conversion d'une image en nuances de gris
- Compression d'une image par deux méthodes
- Réduction de la résolution d'une image de 50%

La figure 6 montre la fenêtre principale de l'application, avec une image en cours d'édition. L'interface est minimaliste, mais suffisante.

La figure 7 montre les menus de l'application, qui permettent de choisir entre toutes les actions décrites ci-dessus.

La figure 8 montre le sélecteur de seuil, qui apparaît lorsqu'on choisit «Compresser» ou «Compresser (new)» dans les menus.



FIGURE 6 – Fenêtre principale de l'application



FIGURE 7 – Menus de l'application

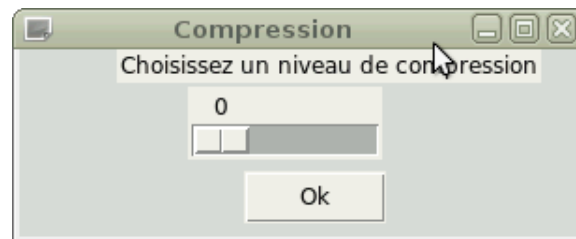


FIGURE 8 – Le sélecteur de seuil de compression

## 7 Conclusion

La théorie des ondelettes symbolise en quelque sorte l'évolution des sciences mathématiques induite par l'introduction de l'outil informatique.

Bien que l'analyse par les ondelettes soit encore loin de nous donner une réponse universelle et finale au problème de la représentation et du codage des signaux, elle se révèle être un outil mathématique particulièrement performant dans plusieurs domaines, comme l'aura très nettement montré notre implémentation informatique. D'ailleurs, nous aurons nous-mêmes pu exploiter la richesse des ondelettes dans le domaine de transferts-échanges de fichiers en proposant un service qui permet la compression d'images et leur affichage grâce à la connexion à un ordinateur distant.



## 8 Annexes

### 8.1 Sur la transformation de Fourier

#### 8.1.1 L'utilisation de la transformée de Fourier

Il est nécessaire dans le cas général de signaux non périodiques de passer d'une écriture discrète en une écriture en somme continue.

Le cadre le plus naturel pour définir les transformations de Fourier est celui des fonctions  $f$  intégrables.

On note alors traditionnellement  $\mathcal{L}^1(\mathbb{R})$  l'ensemble des fonctions intégrables sur  $\mathbb{R}$  et  $\mathcal{L}^2(\mathbb{R})$  l'ensemble des fonctions de carré intégrable sur  $\mathbb{R}$ .

#### 8.1.2 Définition de la transformation de Fourier

On appelle transformation de Fourier l'application notée  $\mathcal{F}$  qui, à toute fonction  $f$  de  $\mathcal{L}^1(\mathbb{R})$ , associe la fonction

$$\hat{f} \text{ telle que } \forall \omega \in \mathbb{R}, \hat{f}(\omega) = \frac{1}{\sqrt{2\pi}} \int_{-\infty}^{\infty} f(t) e^{-i\omega t} dt$$

$\hat{f}$  est appelée transformée de Fourier de  $f$ .

Notons toutefois que l'on peut donner plusieurs versions de définitions : nous avons ici choisi la définition plus "physicienne", car on y voit directement les paramètres de temps ( $t$ ) en  $s$  et de pulsation ( $\omega$ ) en  $rad.s^{-1}$ .

Ainsi, on peut obtenir deux informations de cette transformée :

- Le spectre d'amplitude : il s'agit du tracé du module de  $\hat{f}(\omega)$  en fonction de la pulsation  $\omega$  ; il est formé de traits verticaux
- Le spectre de phase : il s'agit du tracé de l'argument de  $\hat{f}(\omega)$  en fonction de la pulsation  $\omega$ .

En traitement d'images, on effectue des transformations de Fourier à deux dimensions : si  $f$  est une fonction de  $\mathbb{R}^2$ , sa transformée de Fourier est définie par :

$$\hat{f}(u, v) = \int_{-\infty}^{\infty} \int_{-\infty}^{\infty} f(x, y) \cdot e^{-i(ux+vy)} dx dy$$

#### 8.1.3 Propriétés de la transformation de Fourier

- $\mathcal{F}$  est clairement linéaire.
- On peut montrer que  $\mathcal{F}$  conserve la parité.
- Propriété de translation :  
Soit  $a \in \mathbb{R}$  et  $f \in \mathcal{L}^1(\mathbb{R})$  de la variable  $t$ . En effectuant le changement de variable  $u = t - a$ , on obtient la transformée de Fourier de la fonction d'expression  $f(t - a)$ . En effet :

$$\mathcal{F}[f(t - a)] = \int_{-\infty}^{\infty} f(t - a) e^{-i\omega t} dt = e^{-i\omega a} \int_{-\infty}^{\infty} f(u) e^{-i\omega u} du = e^{-i\omega a} \cdot \hat{f}(\omega)$$

#### 8.1.4 Transformée inverse

On utilise les mêmes notations que précédemment. Si  $\hat{f}$  est elle-même une fonction intégrable, la formule dite de transformation de Fourier inverse, opération notée  $\mathcal{F}^{-1}$ , et appliquée à  $\hat{f}$ , permet (sous conditions appropriées) de retrouver  $f$  :

$$f(t) = \frac{1}{\sqrt{2\pi}} \int_{-\infty}^{\infty} \hat{f}(\omega) e^{i\omega t} d\omega$$

Cette formule peut se démontrer facilement à partir de la formule sommatoire de Poisson.

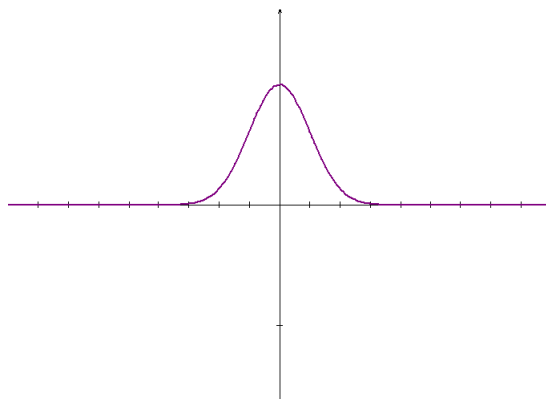


FIGURE 9 – Allure d’une gaussienne

### 8.1.5 Exemples de transformées de Fourier

Facilement, on peut montrer que la transformée de Fourier d’une gaussienne<sup>1</sup> est une gaussienne.

Si on note  $\Pi$  la fonction porte définie par  $\forall t \in [-\frac{1}{2}, \frac{1}{2}], \Pi(t) = 1$  et  $\forall t \in \mathbb{R} \setminus [-\frac{1}{2}, \frac{1}{2}], \Pi(t) = 0$ , on obtient directement par intégration de l’exponentielle complexe et en tenant compte de la relation  $\sin x = \frac{e^{ix} - e^{-ix}}{2i}$ ,  $\mathcal{F}(\Pi)(\omega) = \text{sinc}(\frac{\omega}{2})$ .<sup>2</sup>

La fonction étant réelle, son spectre de phase correspond à la fonction nulle et son spectre d’amplitude est le suivant :

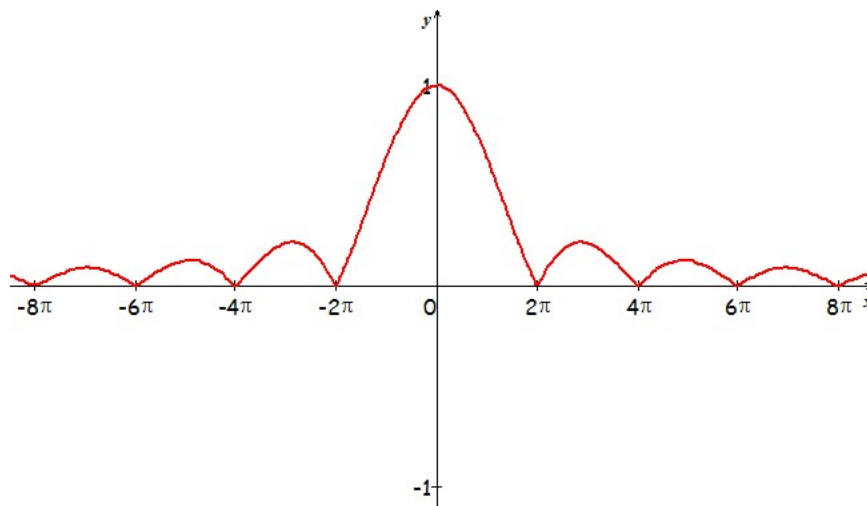


FIGURE 10 – Spectre d’amplitude de la fonction  $\Pi$

### 8.1.6 Applications.

La TFD a plusieurs applications, parmi lesquelles :

1. L’analyse spectrale des signaux.

Il est intéressant pour un électronicien de mesurer par exemple la largeur de la bande de fréquence occupée

---

1. une fonction en  $e^{-\frac{x^2}{2}}$ .  
 2. la fonction sinc (sinus cardinal) est au premier sens mathématique la fonction définie sur  $\mathbb{R}^*$  par  $\text{sinc}(x) = \frac{\sin x}{x}$ .

par la transmission d'un signal, ceci grâce à une analyse spectrale.

2. La compression de données.

On applique sur les signaux la TFD pour réduire leur complexité. La suite des coefficients obtenus est alors quantifiée avec des pas de quantification plus élevés pour les hautes fréquences, considérées comme négligeables pour la perception humaine. Le gain en compression vient de la réduction de précision de ces coefficients (voire leur suppression totale) : cela nécessite de ce fait moins de bits pour le codage.

3. La multiplication des grands nombres.

Certains des algorithmes les plus rapides (type FFT) pour la multiplication de grands nombres entiers sont fondés sur la TFD.

## 8.2 Transformation par les ondelettes.

### 8.2.1 Exemples d'ondelettes mères :

**L'ondelette de Haar :** Il s'agit de la fonction

$$\mathcal{H} : [0, 1] \longrightarrow \{-1; 1\}$$

$$x \longmapsto \begin{cases} 1 & \text{si } x \in [0; \frac{1}{2}] \\ -1 & \text{si } x \in ]\frac{1}{2}; 1] \end{cases}$$

On pourra remarquer que  $\mathcal{H}$  est discontinue en  $\frac{1}{2}$ .

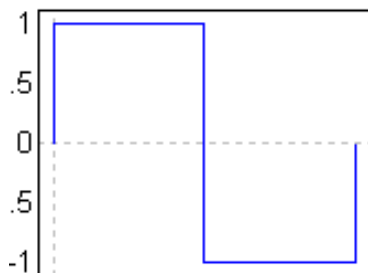


FIGURE 11 – Ondelette de Haar

**L'ondelette "chapeau mexicain" :** On peut définir cette fonction par

$$\psi : \mathbb{R} \longrightarrow \mathbb{R}$$

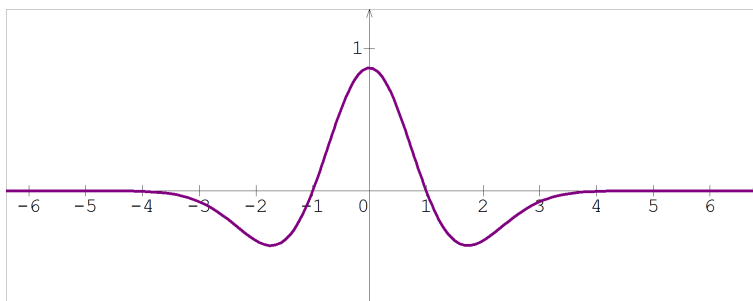
$$t \longmapsto \frac{2}{\sqrt{3}}\pi^{-\frac{1}{4}}(1 - t^2)e^{-\frac{t^2}{2}}$$


FIGURE 12 – Ondelette "chapeau mexicain"

**L'ondelette de Morlet :** On peut définir cette fonction par

$$\psi : \mathbb{R} \longrightarrow \mathbb{R}$$

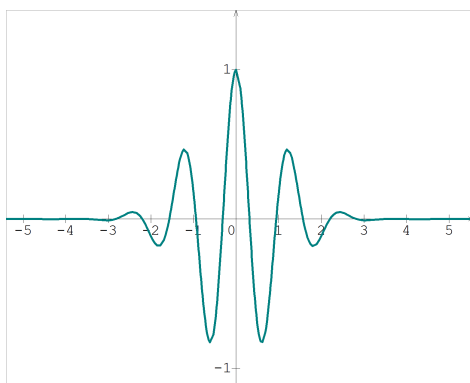
$$t \longmapsto \cos(5t)e^{-\frac{t^2}{2}}$$


FIGURE 13 – Ondelette de Morlet

### 8.2.2 Comparaisons de méthodes de compression

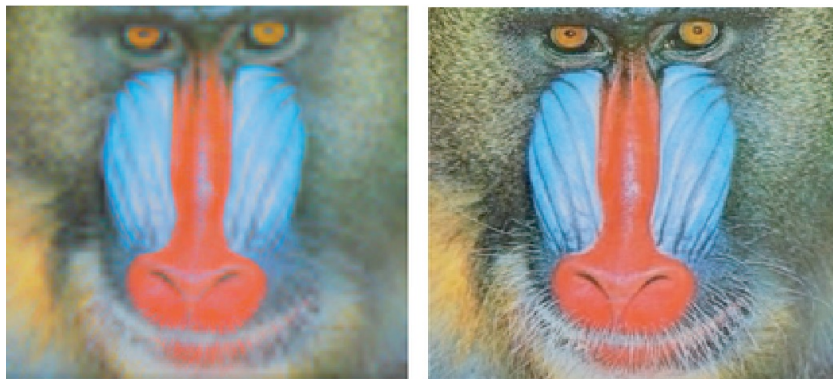


FIGURE 14 – Comparaison des méthodes de compression sur le Mandrill

La figure 14 (Mandrill) montre les résultats de deux compressions de la même image de départ, l'une utilisant la transformation de Fourier (à gauche), l'autre utilisant la transformation en ondelettes (à droite).

### 8.2.3 L'algorithme de Mallat : démonstration dans le cas des ondelettes de Haar.

La démonstration suivante montre comment on calcule les coefficients des ondelettes de Haar : on est bien évidemment dans le cadre d'une transformation en ondelettes discrètes.

**Introduction et définition des notations.** Considérons un signal échantillonné régulièrement sur  $[0,1]$  en  $2^p$  points notés  $x_k$  avec  $x_k = \frac{k}{2^p}$ .

On associe à cet échantillon une fonction  $f$  définie par  $f(x) = \begin{cases} f_k & \text{si } x \in I_k = [x_k, x_{k+1}[ \\ 0 & \text{sinon} \end{cases}$ . Quand l'échantillonnage varie,  $f$  varie en décrivant l'ensemble  $\mathbb{K}_p$  des fonctions constantes sur chacun des intervalles  $I_k$  et nulles sur  $\mathbb{R} \setminus [0, 1]$ .

$\mathcal{F}(\mathbb{R}, \mathbb{R})$ , ensemble des fonctions réelles à valeurs réelles, est un  $\mathbb{R}$ -espace vectoriel et on montre facilement que  $\mathbb{K}_p$  est un sous-espace vectoriel de  $\mathcal{F}(\mathbb{R}, \mathbb{R})$ .

De plus, pour  $p \in \mathbb{N}$ , on a  $\mathbb{K}_0 \subset \mathbb{K}_1 \subset \dots \subset \mathbb{K}_p \subset \mathbb{K}_{p+1} \subset \dots$  ce qui montre  $\bigcup_{p \in \mathbb{N}} \mathbb{K}_p$  est un sous-espace vectoriel de  $\mathcal{F}(\mathbb{R}, \mathbb{R})$ .

À partir de la fonction de Haar  $\mathcal{H}$ , on définit la fonction  $H_{p,k}$  par  $H_{p,k}(x) = \mathcal{H}(2^p x - k)$  avec  $(p, k) \in \mathbb{N}^2$ .

[Pour alléger l'écriture et les calculs, on peut comme ici choisir d'omettre le facteur  $2^{\frac{p}{2}}$  devant  $\mathcal{H}(2^p x - k)$ .]

Soit la fonction définie par

$$h_{p,k}(x) = \begin{cases} 1 & \text{si } x \in I_k = [\frac{k}{2^p}, \frac{k+1}{2^p}] = h(2^p x - k) \\ 0 & \text{sinon} \end{cases}$$

(avec  $h$  définie comme la fonction de Haar mais associant 1 quel que soit  $x \in [0, 1]$ ).

Or toute fonction  $f$  de  $\mathbb{K}_p$  se décompose de manière unique sous la forme :

$$f = \sum_{k=0}^{2^p-1} f_k h_{p,k} = f_0 h_{p,0} + f_1 h_{p,1} + \dots + f_{2^p-1} h_{p,2^p-1}$$

$$\text{On a bien } \forall x \in [0, 1[, f(x) = f_0 \times \begin{cases} 1 & \text{si } x \in I_0 \\ 0 & \text{sinon} \end{cases} + f_1 \times \begin{cases} 1 & \text{si } x \in I_1 \\ 0 & \text{sinon} \end{cases} + \dots + f_{2^p-1} \times \begin{cases} 1 & \text{si } x \in I_{2^p-1} \\ 0 & \text{sinon} \end{cases} .$$

D'où  $(h_{p,0}, h_{p,1}, \dots, h_{p,2^p-1})$  est une base de  $\mathbb{K}_p$ .

Avec  $\mathcal{F}(\mathbb{R}, \mathbb{R})$  muni du produit scalaire canonique réel, on a pour  $k \neq k'$  :

$$\langle h_{p,k} | h_{p,k'} \rangle = \int_0^1 h_{p,k}(x) h_{p,k'}(x) \cdot dx = \int_0^1 0 \cdot dx = 0$$

Ainsi la base  $(h_{p,0}, h_{p,1}, \dots, h_{p,2^p-1})$  est une base orthogonale; ce qui fait des espaces  $\mathbb{K}_p$  des espaces euclidiens.

**Décomposition orthogonale en somme directe.** On peut donc prendre  $\mathbb{S}_p$  le supplémentaire orthogonal de  $\mathbb{K}_p$  dans  $\mathbb{K}_{p+1}$ . On a ainsi  $\mathbb{K}_{p+1} = \mathbb{S}_p \oplus \mathbb{K}_p$ .

D'où de proche en proche on arrive à :

$$\mathbb{K}_{p+1} = \mathbb{S}_p \oplus \mathbb{S}_{p-1} \oplus \mathbb{S}_{p-2} \oplus \dots \oplus \mathbb{S}_0 \oplus \mathbb{K}_0, \text{ soit encore } \mathbb{K}_p = \mathbb{K}_0 \oplus \sum_{i=0}^{p-1} \mathbb{S}_i$$

On a défini à partir de  $\mathcal{H}$  la fonction  $H_{p,k}$  par  $H_{p,k}(x) = \mathcal{H}(2^p x - k)$ ;  $(p, k) \in \mathbb{N}^2$ .

$$\text{On alors } H_{p,k}(x) = \begin{cases} 1 & \text{si } x \in \left[ \frac{k}{2^p}; \frac{k+\frac{1}{2}}{2^p} \right[ \\ -1 & \text{si } x \in \left[ \frac{k+\frac{1}{2}}{2^p}; \frac{k+1}{2^p} \right[ \\ 0 & \text{dans les autres cas} \end{cases}$$

Facilement, on montre que  $(h_{p,0}, h_{p,1}, \dots, h_{p,2^p-1}, H_{p,0}, H_{p,1}, \dots, H_{p,2^p-1})$  forme une base de  $\mathbb{K}_{p+1}$ .

De plus, on a pour  $k \neq k'$  :

$$\begin{aligned} \langle h_{p,k} | H_{p,k'} \rangle &= \int_0^1 h_{p,k}(x) \cdot H_{p,k'}(x) \cdot dx \\ &= 0 \text{ facilement par découpage avec Chasles} \end{aligned}$$

Il résulte que  $(h_{p,1}, h_{p,0}, \dots, h_{p,2^p-1}, H_{p,0}, H_{p,1}, \dots, H_{p,2^p-1})$  forme une base orthogonale de  $\mathbb{K}_{p+1}$ .

Alors le système  $(H_{p,0}, H_{p,1}, \dots, H_{p,2^p-1})$  est une base orthogonale de l'orthogonal  $\mathbb{S}_p$  de  $\mathbb{K}_p$  dans  $\mathbb{K}_{p+1}$ .

-Soit un signal  $\Psi_p \in \mathbb{K}_p$ .

$$\text{Alors } \exists! (\Psi_{p,0}, \Psi_{p,1}, \dots, \Psi_{p,2^p-1},) \in \mathbb{R}^{2^p}, \Psi_p = \sum_{k=0}^{2^p-1} \Psi_{p,k} h_{p,k}.$$

$$\text{Puisque } \mathbb{K}_p = \mathbb{K}_{p-1} \oplus \mathbb{S}_{p-1}, \exists! (\Psi_{p-1}, d_{p-1}) \in \mathbb{K}_{p-1} \times \mathbb{S}_{p-1}, \Psi_p = \Psi_{p-1} + d_{p-1}.$$

Et on peut décomposer  $\Psi_{p-1}$  et  $d_{p-1}$  comme suit :

$$\Psi_{p-1} = \sum_{k=0}^{2^{p-1}-1} \Psi_{p-1,k} h_{p-1,k} \text{ et } d_{p-1} = \sum_{k=0}^{2^{p-1}-1} d_{p-1,k} H_{p-1,k}.$$

**Étape principale de l'algorithme : passage à la résolution inférieure, détermination des coefficients à la résolution inférieure.** -Déterminons les  $\Psi_{p-1,k}$  et  $d_{p-1,k}$  :

**Premières égalités** L'orthogonalité de la base  $(h_{p,0}, h_{p,1}, \dots, h_{p,2^p-1}, H_{p,0}, H_{p,1}, \dots, H_{p,2^p-1})$  avec  $\Psi_p = \Psi_{p-1} + d_{p-1}$  et les résultats précédents sur les produits scalaires amène à :  $\langle \Psi_p | h_{p-1,k} \rangle = \frac{\Psi_{p-1,k}}{2^{p-1}}$  et  $\langle \Psi_p | H_{p-1,k} \rangle = \frac{d_{p-1,k}}{2^{p-1}}$ .

**Démonstration** On calcule :

$$\begin{aligned} \langle H_{p,k} | H_{p,k} \rangle &= \int_0^1 (H_{p,k}(x))^2 \cdot dx = \int_{x_k}^{\frac{x_k+x_{k+1}}{2}} 1^2 \cdot dx + \int_{\frac{x_k+x_{k+1}}{2}}^{x_{k+1}} (-1)^2 \cdot dx = \frac{1}{2^p} \\ \langle h_{p,k} | h_{p,k} \rangle &= \int_0^1 h_{p,k}(x)^2 \cdot dx = \int_{x_k}^{x_{k+1}} 1^2 \cdot dx = \frac{1}{2^p} \end{aligned}$$

$$\langle h_{p,k} | H_{p,k} \rangle = \int_{x_k}^{\frac{x_k+x_{k+1}}{2}} 1 \cdot 1 \cdot dx + \int_{\frac{x_k+x_{k+1}}{2}}^{x_{k+1}} 1 \cdot (-1) \cdot dx = 0$$

On a

$$\begin{aligned} \langle \Psi_p | h_{p-1,k} \rangle &= \langle \Psi_{p-1} | h_{p-1} \rangle + \langle d_{p-1} | h_{p-1,k} \rangle \text{ par linéarité du produit scalaire.} \\ &= \sum_{i \neq k} \Psi_{p-1,i} \langle h_{p-1,i} | h_{p-1,k} \rangle + \Psi_{p-1,k} \langle h_{p-1,k} | h_{p-1,k} \rangle + \sum_{i=0}^{2^{p-1}-1} d_{p-1,i} \langle H_{p-1,i} | h_{p-1,k} \rangle \\ &= \sum_{i \neq k} \Psi_{p-1,i} \cdot 0 + \frac{\Psi_{p-1,k}}{2^{p-1}} + \sum_{i=0}^{2^{p-1}-1} d_{p-1,i} \cdot 0 = \frac{\Psi_{p-1,k}}{2^{p-1}} \end{aligned}$$

Et on a

$$\begin{aligned} \langle \Psi_p | H_{p-1,k} \rangle &= \langle \Psi_{p-1} | H_{p-1} \rangle + \langle d_{p-1} | h_{p-1,k} \rangle \\ &= \sum_{i=0}^{2^{p-1}-1} \Psi_{p-1,i} \langle h_{p-1,i} | H_{p-1,k} \rangle + \sum_{i \neq k} d_{p-1,i} \langle H_{p-1,i} | H_{p-1,k} \rangle + d_{p-1,k} \langle H_{p-1,k} | H_{p-1,k} \rangle \\ &= \sum_{i=0}^{2^{p-1}-1} \Psi_{p-1,i} \cdot 0 + \sum_{i \neq k} d_{p-1,i} \cdot 0 + d_{p-1,k} \langle H_{p-1,k} | H_{p-1,k} \rangle \\ &= \frac{d_{p-1,k}}{2^{p-1}} \end{aligned}$$

**Secondes égalités** D'autre part, on peut montrer  $\langle \Psi_p | h_{p-1,k} \rangle = \frac{\Psi_{p,2k} + \Psi_{p,2k+1}}{2^p}$  et  $\langle \Psi_p | H_{p-1,k} \rangle = \frac{\Psi_{p,2k} - \Psi_{p,2k+1}}{2^p}$

**Démonstration** On a  $\langle h_{p,k} | h_{p-1,k'} \rangle = \int_0^1 h_{p,k}(x) h_{p-1,k'}(x) \cdot dx = \int_{x_k}^{x_{k+1}} h_{p-1,k'}(x) \cdot dx$

Or, on sait par définition que

$$h_{p-1,k'}(x) = \begin{cases} 1 & \text{si } x \in [\frac{k'}{2^{p-1}}; \frac{k'+1}{2^{p-1}}] \\ 0 & \text{sinon} \end{cases}$$

D'où :

$$\begin{cases} \langle h_{p,k} | h_{p-1,k'} \rangle = \int_{x_k}^{x_{k+1}} 1 \cdot dx = \frac{1}{2^p} \text{ si } \frac{k'}{2^{p-1}} \leq x_k \leq x_{k+1} \leq \frac{k'+1}{2^{p-1}}, \text{ ou encore } k \in \{2k', 2k'+1\} \\ \langle h_{p,k} | h_{p-1,k'} \rangle = \int_{x_k}^{x_{k+1}} 0 \cdot dx = 0 \text{ si } k \notin \{2k', 2k'+1\} \end{cases}$$

On a de même

$$\langle h_{p,k} | H_{p-1,k'} \rangle = \int_0^1 h_{p,k}(x) \cdot H_{p-1,k'}(x) \cdot dx = \int_{x_k}^{x_{k+1}} H_{p-1,k'}(x) \cdot dx$$

On sait par définition que

$$H_{p-1,k'}(x) = \begin{cases} 1 & \text{si } x \in [\frac{k'}{2^{p-1}}; \frac{k'+\frac{1}{2}}{2^{p-1}}] \\ -1 & \text{si } x \in [\frac{k'+\frac{1}{2}}{2^{p-1}}; \frac{k'+1}{2^{p-1}}] \\ 0 & \text{sinon} \end{cases}$$

D'où :

$$\left\{ \begin{array}{l} \langle h_{p,k} | H_{p-1,k'} \rangle = \int_{x_k}^{x_{k+1}} 1 \cdot dx = \frac{1}{2^p} \text{ si } \frac{k'}{2^{p-1}} \leq x_k \leq x_{k+1} \leq \frac{k' + \frac{1}{2}}{2^{p-1}}, \text{ ou encore } k = 2k' \\ \langle h_{p,k} | H_{p-1,k'} \rangle = \int_{x_k}^{x_{k+1}} -1 \cdot dx = -\frac{1}{2^p} \text{ si } \frac{k' + \frac{1}{2}}{2^{p-1}} \leq x_k \leq x_{k+1} \leq \frac{k' + 1}{2^{p-1}}, \text{ soit } k = 2k' + 1 \\ \langle h_{p,k} | H_{p-1,k'} \rangle = \int_{x_k}^{x_{k+1}} 0 \cdot dx = 0 \text{ si } k \notin \{2k', 2k' + 1\} \end{array} \right.$$

À partir de cela, il est facile de décomposer comme suit et d'obtenir les résultats :

$$\begin{aligned} \langle \Psi_p | h_{p-1,k} \rangle &= \left\langle \sum_{i=0}^{2^p-1} \Psi_{p,i} h_{p,i} | h_{p-1,k} \right\rangle \\ &= \sum_{i \notin \{2k, 2k+1\}} \Psi_{p,i} \langle h_{p,i} | h_{p-1,k} \rangle + \sum_{i \in \{2k, 2k+1\}} \Psi_{p,i} \langle h_{p,i} | h_{p-1,k} \rangle \\ &= 0 + \Psi_{p,2k} \cdot \frac{1}{2^p} + \Psi_{p,2k+1} \cdot \frac{1}{2^p} \end{aligned}$$

$$\begin{aligned} \langle \Psi_p | H_{p-1,k} \rangle &= \left\langle \sum_{i=0}^{2^p-1} \Psi_{p,i} h_{p,i} | H_{p-1,k} \right\rangle \\ &= \sum_{i \notin \{2k, 2k+1\}} \Psi_{p,i} \langle h_{p,i} | H_{p-1,k} \rangle + \sum_{i \in \{2k, 2k+1\}} \Psi_{p,i} \langle h_{p,i} | H_{p-1,k} \rangle \\ &= 0 + \Psi_{p,2k} \cdot \frac{1}{2^p} + \Psi_{p,2k+1} \cdot \frac{-1}{2^p} \end{aligned}$$

**Conclusion** On obtient finalement avec les égalités encadrées les équations d'échelles suivantes.

$$\left\{ \begin{array}{l} \Psi_{p-1,k} = \frac{\Psi_{p,2k} + \Psi_{p,2k+1}}{2} \|( \Psi_{p-1,k} )_{k \in [0; 2^{p-1}-1]} \text{ est la famille des coefficients d'approximation à la résolution } 2^{p-1} \\ d_{p-1,k} = \frac{\Psi_{p,2k} - \Psi_{p,2k+1}}{2} \|( d_{p-1,k} )_{k \in [0; 2^{p-1}-1]} \text{ est la famille des coefficients d'ondelettes} \end{array} \right.$$

Ainsi, lorsqu'on connaît les coefficients d'ondelettes à un niveau de résolution  $p$ , on peut aisément déterminer ceux du niveau  $p-1$  et l'égalité des sous-espaces vectoriels en somme directe se comprend par :

$$\underbrace{\mathbb{K}_p}_{\text{Signal à la résolution } 2^p} = \underbrace{\mathbb{K}_{p-1}}_{\text{Signal à la résolution } 2^{p-1}} \oplus \underbrace{\mathbb{S}_{p-1}}_{\text{Détails (ou pertes)}}$$

## 8.2.4 Schématisation de l'algorithme de Mallat

Pour la compression d'un signal  $\Psi_p$  par des ondelettes, on obtient le schéma suivant :

$$\begin{array}{ccc} \Psi_p & \xrightarrow{\text{Etape 1}} & \Psi_{p-1} \\ & \searrow & d_{p-1} \quad (\text{détails}) \end{array}$$

En réitérant le processus jusqu'à la dernière étape (étape  $p$ ), on obtient la configuration suivante :

$$\begin{array}{ccccccc} \Psi_p & \xrightarrow{\text{Etape 1}} & \Psi_{p-1} & \xrightarrow{\text{Etape 2}} & \Psi_{p-2} & \xrightarrow{\dots} & \Psi_0 \\ & \searrow & d_{p-1} & \searrow & d_{p-2} & \searrow & d_0 \end{array}$$

## 8.2.5 Représentation matricielle de l'algorithme utilisant les ondelettes de Haar

Une image peut être considérée comme un ensemble de pixels, chaque pixel représentant un niveau de gris si l'image est en noir et blanc, ou un niveau de rouge, de vert et de bleu si l'image est en couleur. On peut par conséquent représenter l'image par une matrice  $H_n$  carrée  $2^n \times 2^n$  de taille égale à la résolution de l'image.



Les équations d'échelle (c'est-à-dire le passage d'une résolution à la résolution inférieure) renseignent sur le type de matrice à utiliser dans l'algorithme spécifique de Haar.

$$H_2 = \begin{pmatrix} \frac{1}{2} & 0 & \frac{1}{2} & 0 \\ \frac{1}{2} & 0 & -\frac{1}{2} & 0 \\ 0 & \frac{1}{2} & 0 & \frac{1}{2} \\ 0 & \frac{1}{2} & 0 & -\frac{1}{2} \end{pmatrix}$$

est la matrice  $4 \times 4$  associée à l'algorithme utilisant les ondelettes de Haar.

On retrouve bien le fait que les deux premières colonnes (moitié gauche) représentent l'échantillon principal et que les deux dernières colonnes (moitié droite) de la matrice symbolisent les détails.

$$H_3 = \begin{pmatrix} \frac{1}{2} & 0 & 0 & 0 & \frac{1}{2} & 0 & 0 & 0 \\ \frac{1}{2} & 0 & 0 & 0 & -\frac{1}{2} & 0 & 0 & 0 \\ 0 & \frac{1}{2} & 0 & 0 & 0 & \frac{1}{2} & 0 & 0 \\ 0 & \frac{1}{2} & 0 & 0 & 0 & -\frac{1}{2} & 0 & 0 \\ 0 & 0 & \frac{1}{2} & 0 & 0 & 0 & \frac{1}{2} & 0 \\ 0 & 0 & \frac{1}{2} & 0 & 0 & 0 & -\frac{1}{2} & 0 \\ 0 & 0 & 0 & \frac{1}{2} & 0 & 0 & 0 & \frac{1}{2} \\ 0 & 0 & 0 & \frac{1}{2} & 0 & 0 & 0 & -\frac{1}{2} \end{pmatrix}$$

est la matrice  $8 \times 8$  associée à l'algorithme de Mallat.

L'intérêt du choix de telles matrices réside dans leur adaptation pour la multiplication matricielle (en raison de l'arrangement des nombres de la matrice suivant les colonnes et le nombre de zéros).

**Exemple** On nomme  $M_2$  une matrice  $4 \times 4$  quelconque associée à une famille de pixels.

$$M_2 = \begin{pmatrix} a & b & c & d \\ e & f & g & h \\ i & j & k & l \\ m & n & o & p \end{pmatrix}$$

Alors on obtient la nouvelle matrice de pixels (représentant la résolution moitié) en effectuant le produit  $M_2 \times H_2$ . On obtient

$$M_1 = M_2 \times H_2 = \begin{pmatrix} \frac{a+b}{2} & \frac{c+d}{2} & \frac{a-b}{2} & \frac{c-d}{2} \\ \frac{e+f}{2} & \frac{g+h}{2} & \frac{e-f}{2} & \frac{g-h}{2} \\ \frac{i+j}{2} & \frac{k+l}{2} & \frac{i-j}{2} & \frac{k-l}{2} \\ \frac{m+n}{2} & \frac{o+p}{2} & \frac{m-n}{2} & \frac{o-p}{2} \end{pmatrix}$$

On obtient alors en première moitié verticale de la matrice le nouvel échantillon principal et en seconde moitié les coefficients représentant les nouveaux détails.

On réitère ensuite le processus et on obtient finalement à partir d'une matrice initiale de pixels  $M_p$  les matrices  $M_{p-1}, M_{p-2}, \dots, M_1, M_0$  avec la relation de récurrence  $M_{k-1} = M_k \times H_p$  ( $k \in \{p, p-1, \dots, 1\}$  et  $H_p$  désigne la matrice carrée  $2^p \times 2^p$  spécifique à l'algorithme de Haar, choisie de telle sorte que son nombre  $p$  de colonnes et de lignes soit celui des colonnes et lignes de la matrice initiale de pixels).

En reprenant l'exemple précédent, il resterait à calculer  $M_0 = M_1 \times H_2$ .

Mais en pratique, pour chaque matrice  $M_k$  calculée, on ne garde que les coefficients supérieurs à une certaine précision choisie  $\epsilon$  : on effectue une *compression*. Les coefficients d'ondelettes inférieurs à cette précision sont remplacés par des 0. Lors de l'étape inverse de *décompression* ou synthèse, pour réobtenir la matrice initiale  $M_p$ , il suffit de calculer les nouvelles matrices  $M'_1, M'_2, \dots, M'_p$  par la relation de récurrence suivante :

$$M'_{k+1} = M'_k \times (H_p)^{-1}, \text{ avec } k \in \{0, 1, \dots, p-1\}, (H_p)^{-1} \text{ désigne la matrice inverse de } H_p \text{ et } M'_0 = M_0$$

En reprenant l'exemple précédent, on aurait :

$$(H_2)^{-1} = \begin{pmatrix} 1 & 1 & 0 & 0 \\ 0 & 0 & 1 & 1 \\ 1 & -1 & 0 & 0 \\ 0 & 0 & 1 & -1 \end{pmatrix}$$

Bien sûr, la matrice finale  $M'_p$  est quelque peu différente de la matrice  $M_p$  puisque certains coefficients sont devenus des 0.

### 8.2.6 Exemples d'images traitées avec notre algorithme

La figure 15 montre l'image à laquelle nous avons appliqué la compression. La figure 16 montre un détail de l'image.



FIGURE 15 – L'image de départ

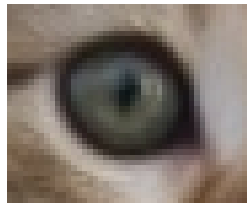


FIGURE 16 – Détail de l'image de départ

La figure 17 représente le même détail de l'image une fois que la compression a été appliquée avec un seuil assez petit pour garder la plupart des détails importants de l'image mais assez grand pour compresser les «aplats» de couleur, les ombres, etc. L'image compressée occupe 35% de mémoire en moins par rapport à l'image de départ. Cela montre que la compression par ondelettes est plutôt efficace et que notre algorithme est fonctionnel.



FIGURE 17 – Détail de l'image compressée

Sur la figure 18, on peut voir le même détail quand l'image a été compressée avec le seuil maximal. Ici, tous les détails ont été éliminés. Cela revient simplement à diviser la résolution de l'image par deux.



FIGURE 18 – Détail de l'image compressée à 100%

## 8.3 Code de l'algorithme en Python et application graphique

Tout le code de ce projet est sous licence Creative Commons BY-SA (voir p.30).

### 8.3.1 Fichier ondelettes.py

```

1 import Image, math
2 import time
3 from threading import Thread
4 from multiprocessing import Process
5 class Matrice:
6
7
8     def __init__(self, x, y, what):
9         self.tableau = []
10        self.x, self.y = x, y
11
12
13        for i in range(self.x):
14            self.tableau.append([])
15            for j in range(self.y):
16                self.tableau[i].append(what)
17
18
19    def transpose(self):
20        self.tableau = [[row[i] for row in self.tableau] for i in range(self.y)]
21        self.x, self.y = self.y, self.x
22
23
24    def add(self, matrice):
25
26
27        for i in range(n):
28            for j in range(p):
29                self.tableau[i][j] += matrice.tableau[i][j]
30
31
32    def multiply(self, matrice):
33
34
35        for i in range(self.x):
36            for j in range(self.y):
37                somme = 0
38                for k in range(self.y):
39                    somme += self.tableau[i][k]*matrice.tableau[k][j]
40
41
42    def copy(self, matrice):
43
44
45        for i in range(self.x):
46            for j in range(self.y):
47                self.tableau[i][j] = matrice.tableau[i][j]
48
49
50    def update(self):
51        self.x = len(self.tableau)
52        self.y = len(self.tableau[0])
53
54
55    def save(self):
56        self.tableau2 = list(self.tableau)
57
58
59    def save1(self):
60        self.mat_orig = list(self.tableau)
61
62
63    def restore(self):
64        self.tableau = list(self.mat_orig)

```

```

65
66
67 class MatriceImage():
68
69
70     def __init__(self, lienimage):
71         self.lienimage = lienimage
72         self.image = Image.open(lienimage)
73         self.pix = self.image.load()
74         self.size_x, self.size_y = self.image.size
75         self.matrice = Matrice(self.size_x, self.size_y, self.pix[0,0])
76         self.fill()
77
78
79     def fill(self):
80         for i in range(self.size_x):
81             for j in range(self.size_y):
82                 self.matrice.tableau[i][j] = self.pix[i,j]
83
84
85     def grayscalemean(self):
86         for i in range(self.size_x):
87             for j in range(self.size_y):
88                 mean = (self.pix[i,j][0] + self.pix[i,j][1] + self.pix[i,j][2])/3
89                 self.pix[i,j] = (mean,mean,mean)
90
91
92     def grayscalemeanmatrix(self):
93         self.matrixgray = Matrice(self.size_x, self.size_y, 0)
94         for i in range(self.size_x):
95             for j in range(self.size_y):
96                 mean = (self.pix[i,j][0] + self.pix[i,j][1] + self.pix[i,j][2])/3
97                 self.matrixgray.tableau[i][j] = mean
98
99
100    def getmatrixred(self):
101        self.matrixred = Matrice(self.size_x, self.size_y, self.pix[0,0][0])
102        for i in range(self.size_x):
103            for j in range(self.size_y):
104                self.matrixred.tableau[i][j] = self.matrice.tableau[i][j][0]
105
106
107    def getmatrixblue(self):
108        self.matrixblue = Matrice(self.size_x, self.size_y, self.pix[0,0][2])
109        for i in range(self.size_x):
110            for j in range(self.size_y):
111                self.matrixblue.tableau[i][j] = self.matrice.tableau[i][j][2]
112
113
114    def getmatrixgreen(self):
115        self.matrixgreen = Matrice(self.size_x, self.size_y, self.pix[0,0][1])
116        for i in range(self.size_x):
117            for j in range(self.size_y):
118                self.matrixgreen.tableau[i][j] = self.matrice.tableau[i][j][1]
119
120
121    def save(self, nom):
122        self.image.save(nom)
123
124
125    def ondelette_haar(self, tableau_valeurs, ordre):
126        longueur = len(tableau_valeurs)
127        coeff_approx, coeff_ondelettes = [], []
128        for i in range(longueur/2):
129
130
131            coeff_approx.append((tableau_valeurs[2*i] + tableau_valeurs[2*i+1])/2)
132            coeff_ondelettes.append((tableau_valeurs[2*i] - tableau_valeurs[2*i+1])/2)
133
134
135    if ordre == 1:

```

```

136         return coeff_approx, coeff_ondelettes
137     else:
138         return ondelette_haar(coeff_approx, ordre -1), coeff_ondelettes
139
140
141     def getcolonne(self, tab, num):
142         col = []
143         for i in range(len(tab)):
144             col.append(tab[i][num])
145         return col
146
147
148     def setcolonne(self, matrice, tab, num):
149         for i in range(len(tab)):
150             matrice[num][i] = tab[i]
151
152
153     def getligne(self, tab, num):
154         return tab[num]
155
156
157     def apply_haar_lig(self, matrice, chiffre):
158         for i in range(len(matrice)):
159             matrice[i] = self.ondelette_haar(matrice[i], 1)[chiffre]
160
161
162     def apply_haar_col(self, matrice):
163         for i in range(len(matrice[0])):
164             col = self.getcolonne(matrice, i)
165             col = self.ondelette_haar(col, 1)[0]
166             self.setcolonne(matrice, col, i)
167
168
169     def makeimagegray(self, matriceimage):
170         matriceimage.update()
171         im = Image.new("RGB", (matriceimage.x, matriceimage.y), "white")
172         pix = im.load()
173
174
175         for i in range(matriceimage.x):
176             for j in range(matriceimage.y):
177                 pix[i, j] = (int(matriceimage.tableau[i][j]), int(matriceimage.tableau[i][j]), int(
178                     matriceimage.tableau[i][j]))
179
180         return im
181
182
183     def haar_grayscale(self):
184         self.grayscalemeanmatrix()
185
186         self.apply_haar_lig(self.matrixgray.tableau, 0)
187         self.matrixgray.update()
188         self.matrixgray.transpose()
189         self.matrixgray.update()
190         self.apply_haar_lig(self.matrixgray.tableau, 0)
191         self.matrixgray.update()
192         self.matrixgray.transpose()
193         self.imagehaargray = self.makeimagegray(self.matrixgray)
194
195
196     def update(self):
197         self.size_x = matrice.x
198         self.size_y = matrice.y
199
200
201     def create_coef_matrix(self):
202         self.matrixcoefr = Matrice(self.matrixred.x, self.matrixred.y, 0)
203         self.matrixcoefg = Matrice(self.matrixred.x, self.matrixred.y, 0)
204         self.matrixcoefb = Matrice(self.matrixred.x, self.matrixred.y, 0)
205         self.matrixcoefr.copy(self.matrixred)
206         self.matrixcoefg.copy(self.matrixgreen)

```

```
206         self.matrixcoefb.copy(self.matrixblue)
207
208
209
210
211     def haar(self):
212
213
214         for i in [self.matrixred, self.matrixgreen, self.matrixblue]:
215             self.apply_haar_lig(i.tableau, 0)
216             i.update()
217             i.save()
218             i.transpose()
219             i.update()
220             self.apply_haar_lig(i.tableau, 0)
221             i.update()
222             i.transpose()
223
224
225         for i in [self.matrixcoefr, self.matrixcoefg, self.matrixcoefb]:
226             i.savel()
227             self.apply_haar_lig(i.tableau, 1)
228             i.update()
229             i.save()
230             i.update()
231             i.restore()
232             self.apply_haar_lig(i.tableau, 0)
233             i.update()
234             i.transpose()
235             i.update()
236             self.apply_haar_lig(i.tableau, 1)
237             i.update()
238             i.transpose()
239
240
241     def haarimage(self):
242
243
244         for i in [self.matrixred, self.matrixgreen, self.matrixblue]:
245             self.apply_haar_lig(i.tableau, 0)
246             i.update()
247             i.save()
248             i.transpose()
249             i.update()
250             self.apply_haar_lig(i.tableau, 0)
251             i.update()
252             i.transpose()
253
254
255     def haardetails(self):
256
257
258         for i in [self.matrixcoefr, self.matrixcoefg, self.matrixcoefb]:
259             i.savel()
260             self.apply_haar_lig(i.tableau, 1)
261             i.update()
262             i.save()
263             i.update()
264             i.restore()
265             self.apply_haar_lig(i.tableau, 0)
266             i.update()
267             i.transpose()
268             i.update()
269             self.apply_haar_lig(i.tableau, 1)
270             i.update()
271             i.transpose()
272
273
274     def haarmulti(self):
275         t1 = Thread(target=self.haarimage, args=())
276         t2 = Thread(target=self.haardetails, args=())
```

```

277
278
279     t1.start()
280     t2.start()
281     t1.join()
282     t2.join()
283
284
285 def makeimage(self):
286     im = Image.new("RGB", (self.matrixred.x, self.matrixred.y), "white")
287     pix = im.load()
288
289
290     for i in range(self.matrixred.x):
291         for j in range(self.matrixred.y):
292             pix[i,j] = (int(self.matrixred.tableau[i][j]),int(self.matrixgreen.tableau[i][j]),
293                        int(self.matrixblue.tableau[i][j]))
294
295
296     return im
297
298
299 def compression(self, epsilon):
300     for tab in [self.matrixcoefr.tableau, self.matrixcoefg.tableau, self.matrixcoefb.tableau]:
301         for i in tab:
302             for j in range(len(i)):
303                 if abs(i[j]) < epsilon:
304                     i[j] = 0
305
306
307     for tab in [self.matrixcoefr.tableau2, self.matrixcoefg.tableau2, self.matrixcoefb.tableau2
308                ]:
309         for i in tab:
310             for j in range(len(i)):
311                 if abs(i[j]) < epsilon:
312                     i[j] = 0
313
314
315 def syntheseslignes(self):
316     for i in range(self.sizey/2):
317         for j in range(self.sizey/2):
318             self.pix[2*i,2*j] = (int(self.matrixred.tableau[i][j] + self.matrixcoefr.tableau[i
319                                     ][j]), int(self.matrixgreen.tableau[i][j] + self.matrixcoefg.tableau[i][j]) ,
320                                  int(self.matrixblue.tableau[i][j] + self.matrixcoefb.tableau[i][j]))
321
322     self.pix[2*i+1,2*j] = (int(self.matrixred.tableau[i][j] - self.matrixcoefr.tableau
323                               [i][j]), int(self.matrixgreen.tableau[i][j] - self.matrixcoefg.tableau[i][j])
324                               , int(self.matrixblue.tableau[i][j] - self.matrixcoefb.tableau[i][j]))
325
326
327
328
329
330 def synthesescolonnes(self):
331
332     for y in range(len(self.matrixcoefr.tableau2[0])):
333
334         for x in range(len(self.matrixcoefr.tableau2)):
335
336             self.pix[x,2*y], self.pix[x,2*y + 1] = (int(self.pix[x,2*y][0] + self.matrixcoefr
337                 .tableau2[x][y]), int(self.pix[x,2*y][1] + self.matrixcoefg.tableau2[x][y]) ,
338              int(self.pix[x,2*y][2] + self.matrixcoefb.tableau2[x][y]), (int(self.pix[x,2*
339              y][0] - self.matrixcoefr.tableau2[x][y]), int(self.pix[x,2*y][1] - self.
340              matrixcoefg.tableau2[x][y]) , int(self.pix[x,2*y][2] - self.matrixcoefb.
341              tableau2[x][y]))
342
343
344
345
346
347
348
349
350 def clearimage(self):
351     for i in range(self.sizey):
352         for j in range(self.sizey):
353             self.pix[i,j] = (255,0,0)
354
355
356
357 def fasthaar(self, epsilon, xa, xb, ya, yb):

```



```

337
338
339     for x in range(xa/2,xb/2):
340         start = time.time()
341         for y in range(ya/2,yb/2):
342             #copier les 4 pixels dans un carre
343
344
345             carres = []
346
347
348             for i in range(3):
349                 carres.append( [ [self.pix[2*x,2*y][i],self.pix[2*x,2*y + 1][i] ] , [ self.
350                                     pix[2*x +1,2*y][i],self.pix[2*x+1,2*y+1][i]]])
351
352             ##ANALYSE
353             ondlhaut = [(carres[i][0][0] - carres[i][1][0] )/2 for i in range(3)]
354             ondlbas = [(carres[i][0][1] - carres[i][1][1])/2 for i in range(3)]
355             #print ondlbas
356             for i in range(3):
357                 carres[i][0][0] = (carres[i][0][0] + carres[i][1][0] )/2
358                 carres[i][0][1] = (carres[i][0][1] + carres[i][1][1])/2
359
360
361             ondlmix = [(carres[i][0][0] - carres[i][0][1])/2 for i in range(3)]
362
363
364             for i in range(3):
365                 carres[i][0][0] = (carres[i][0][0] + carres[i][0][1])/2
366
367
368             ##SYNTHESE
369             for i in range(3):
370                 if ondlmix[i] < epsilon:
371                     carres[i][0][1] = carres[i][0][0]
372                 else:
373                     carres[i][0][1] = carres[i][0][0] - ondlmix[i]
374                     carres[i][0][0] = carres[i][0][0] + ondlmix[i]
375
376
377                 if ondlhaut[i] < epsilon:
378                     carres[i][1][0] = carres[i][0][0]
379                 else:
380                     carres[i][1][0] = carres[i][0][0] - ondlhaut[i]
381                     carres[i][0][0] = carres[i][0][0] + ondlhaut[i]
382
383
384                 if ondlbas[i] < epsilon:
385                     carres[i][1][1] = carres[i][0][1]
386                 else:
387                     carres[i][1][1] = carres[i][0][1] - ondlbas[i]
388                     carres[i][0][1] = carres[i][0][1] + ondlbas[i]
389
390
391             for i in [2*x,2*x+1]:
392                 for j in [2*y,2*y+1]:
393                     self.pix[i,j] = (carres[0][i-2*x][j-2*y], carres[1][i-2*x][j-2*y], carres
394                                     [2][i-2*x][j-2*y])
395             end = time.time()
396             print end - start
397
398
399
400     def fasthaar_thread(self , epsilon):
401         t1 = Process(target=self.fasthaar , args=(epsilon ,0 ,self.size_x/2,0 ,self.size_y))
402         t2 = Process(target=self.fasthaar , args=(epsilon ,self.size_x/2 ,self.size_x ,0 ,self.size_y))
403
404
405         t1.start()

```

```

406         t2.start()
407         t1.join()
408         t2.join()
409
410
411 def main():
412
413
414     image = MatriceImage("piano_bleu.jpg")
415     start = time.time()
416     image.getmatrixblue()
417     image.getmatrixgreen()
418     image.getmatrixred()
419     image.create_coef_matrix()
420
421
422     #image.grayscalemeanmatrix()
423     #image.makeimagegray(image.matrixgray).save("piano_gris.jpg")
424     #start = time.time()
425     image.haar()
426     #end = time.time()
427
428
429     #image.makeimage().save("1px.jpg", 'JPEG', quality = 100)
430     image.compression(10)
431     image.clearimage()
432     image.syntheselignes()
433     image.synthesecolonnes()
434     #start = time.time()
435     #image.fasthaar(15,0,image.size[0],image.size[1])
436
437
438     image.fill()
439     end = time.time()
440     print end - start
441     image.image.save("piano_compress.jpg", 'JPEG', quality = 100)
442
443
444 if __name__ == '__main__':
445     main()

```

### 8.3.2 Fichier ondelettesGUI.py

```

1  from Tkinter import *
2  import tkFileDialog, ImageTk
3  from ondelettes import *
4  from ttk import Frame, Style
5  from Tkconstants import *
6
7
8
9
10 class DialogScale(Frame):
11     def __init__(self, parent):
12         Frame.__init__(self, parent)
13
14
15         self.parent = parent
16         self.initUI()
17
18
19     def initUI(self):
20
21
22         self.parent.title("Compression")
23         self.style = Style()
24         self.style.theme_use("default")
25
26

```

```

27     self.pack(fill=BOTH, expand=1)
28
29
30     scale = Scale(self, from_=0, to=255,command=self.onScale, orient= HORIZONTAL)
31     scale.place(x=90, y=20)
32
33
34
35
36     self.label2 = Label(self, text="Choisissez un niveau de compression")
37     self.label2.place(x=52, y=0)
38     self.quitButton = Button(self, text="Ok",command=self.ok)
39     self.quitButton.place(x=120, y=65)
40
41
42     def onScale(self, val):
43
44
45         self.variable = int(val)
46
47
48     def ok(self):
49         global compress
50         compress = self.variable
51         self.quit()
52
53
54 class Appli(Frame):
55
56
57     def __init__(self, parent):
58         Frame.__init__(self, parent)
59
60
61         self.parent = parent
62         self.initUI()
63
64
65     def initUI(self):
66
67
68         self.parent.title("Ondelettes GUI")
69         self.pack(fill=BOTH, expand=1)
70         menubar = Menu(self.parent)
71         self.parent.config(menu=menubar)
72
73
74         fileMenu = Menu(menubar)
75         fileMenu.add_command(label="Ouvrir", command=self.askopenfilename)
76         fileMenu.add_command(label="Enregistrer", command=self.asksaveasfilename)
77         fileMenu.add_command(label="Exit", command=self.onExit)
78         menubar.add_cascade(label="Fichier", menu=fileMenu)
79
80
81         editMenu = Menu(menubar)
82         editMenu.add_command(label="Nuances de gris", command=self.grayscale)
83         editMenu.add_command(label="Compresser", command=self.askcompression)
84         editMenu.add_command(label="Compresser (new)", command=self.askcompression2)
85         editMenu.add_command(label="Resolution 1/2", command=self.onExit)
86         menubar.add_cascade(label="Edition", menu=editMenu)
87
88
89         Style().configure("TFrame", background="#FFF")
90
91
92     def askopenfilename(self):
93
94
95         filename = tkFileDialog.askopenfilename(defaultextension = ".jpg")
96         self.matriceimage = MatriceImage(filename)
97         self.image = self.matriceimage.image

```

```
98         self.imgtk = ImageTk.PhotoImage(self.image)
99         self.labelimg = Label(self, image=self.imgtk)
100        self.labelimg.image = self.imgtk
101        self.labelimg.place(x = 0, y=0)
102        self.labelimg.pack()
103
104
105
106
107        self.parent.geometry(str(self.matriceimage.size[0]+5)+"x"+str(self.matriceimage.size[1]+5)+
108                               +100+300")
109
110    def asksaveasfilename(self):
111
112
113        filename = tkFileDialog.asksaveasfilename(defaultextension = ".jpg")
114
115
116        self.image.save(filename, 'JPEG', quality = 100)
117
118
119    def askcompression(self):
120        global compress
121        fen = Tk()
122        fen.geometry("300x100+300+300")
123        box = DialogScale(fen)
124        fen.mainloop()
125        fen.destroy()
126        self.compression()
127
128
129    def askcompression2(self):
130        global compress
131        fen = Tk()
132        fen.geometry("300x100+300+300")
133        box = DialogScale(fen)
134        fen.mainloop()
135        fen.destroy()
136        self.compression2()
137
138
139    def compression(self):
140
141
142        self.matriceimage.getmatrixblue()
143        self.matriceimage.getmatrixgreen()
144        self.matriceimage.getmatrixred()
145        self.matriceimage.create_coef_matrix()
146        self.matriceimage.haar()
147        self.matriceimage.compression(compress)
148        self.matriceimage.syntheselignes()
149        self.matriceimage.synthesecolonne()
150        self.labelimg.destroy()
151
152
153        self.displayimage()
154
155
156    def compression2(self):
157
158
159
160
161        self.matriceimage.fasthaar(compress, 0, self.matriceimage.size[0], 0, self.matriceimage.
162                                   size[1])
163
164        self.labelimg.destroy()
165
166
```

```
167         self.displayimage()
168
169     def grayscale(self):
170         self.matriceimage.grayscalemeanmatrix()
171         self.image = self.matriceimage.makeimagegray(self.matriceimage.matrixgray)
172         self.matriceimage.image = self.matriceimage.makeimagegray(self.matriceimage.matrixgray)
173         self.labelimg.destroy()
174
175
176         self.displayimage()
177
178
179     def displayimage(self):
180         self.imgtk = ImageTk.PhotoImage(self.matriceimage.image)
181         self.labelimg = Label(self, image=self.imgtk)
182         self.labelimg.image = self.imgtk
183         self.labelimg.place(x = 0,y=0)
184         self.labelimg.pack()
185         self.update()
186
187
188
189     def onExit(self):
190         self.quit()
191
192
193
194
195 def main():
196
197     root = Tk()
198     root.geometry("250x250+300+300")
199     app = Appli(root)
200     root.mainloop()
201
202
203
204
205
206 if __name__ == '__main__':
207     main()
```

## 9 Bibliographie, Liens et Remerciements

- [http://www.cmi.univ-mrs.fr/~melot/Master2/TPsignal\\_PS.html](http://www.cmi.univ-mrs.fr/~melot/Master2/TPsignal_PS.html)
- [http://www.math-info.univ-paris5.fr/gk/MasterTunis/cours\\_ond.pdf](http://www.math-info.univ-paris5.fr/gk/MasterTunis/cours_ond.pdf)
- [http://math.univ-lyon1.fr/gannaz/2010-01-19\\_ondelettes.pdf](http://math.univ-lyon1.fr/gannaz/2010-01-19_ondelettes.pdf)
- <http://math.umons.ac.be/preprints/src/LucasOndelettes.pdf>
- La licence Creative Commons BY-SA :  
<http://creativecommons.org/licenses/by-sa/3.0/>
- Remerciements : Je tiens à remercier mon professeur de mathématiques de spéciale, M. Patrick Génaux, qui m'a soutenu et encadré tout au long de l'année dans la préparation de mon travail mais également mon professeur de physique de première année, M. Jérôme Petitjean, qui m'a suggéré le thème de la transformation des signaux.